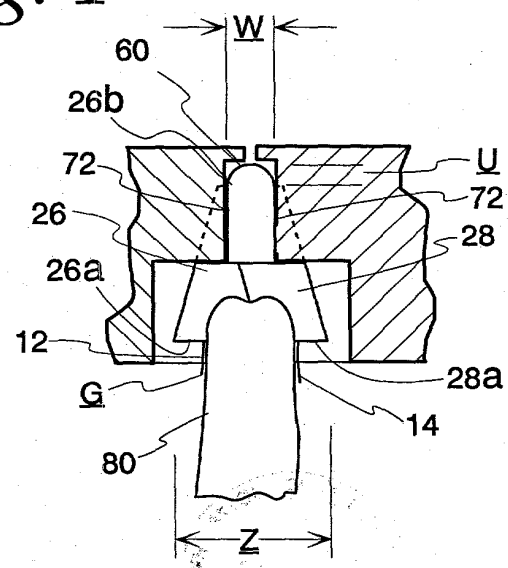
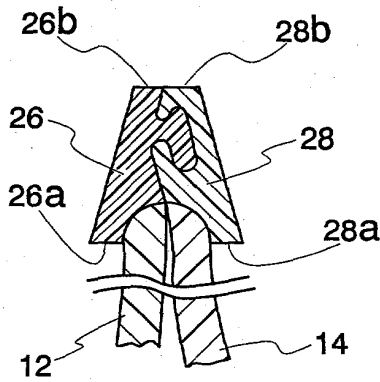
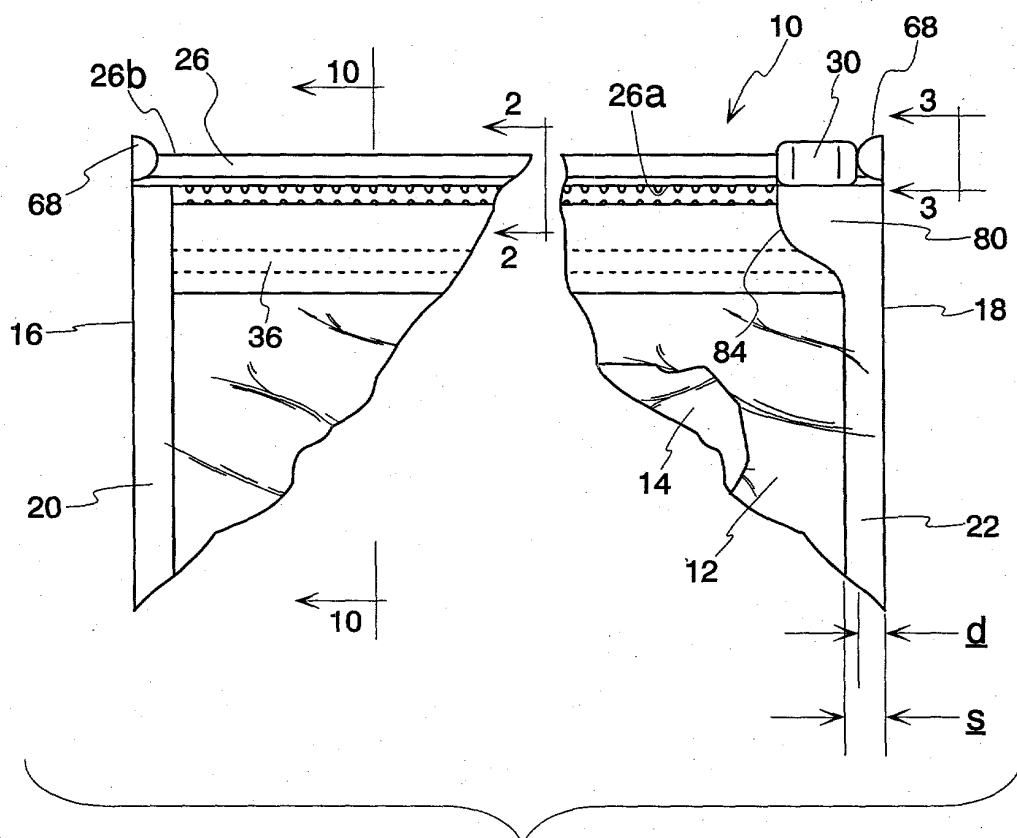


1/12



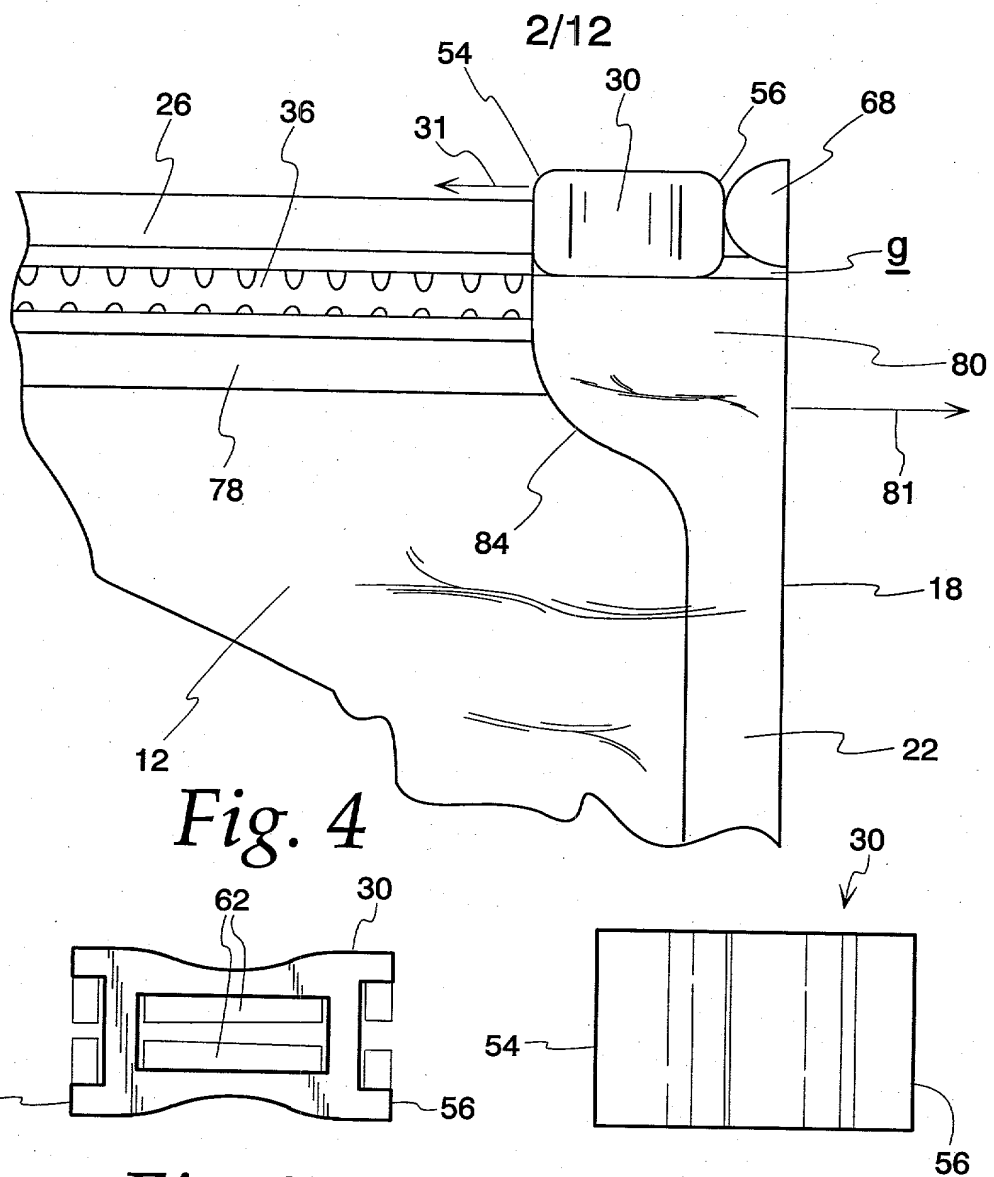


Fig. 4

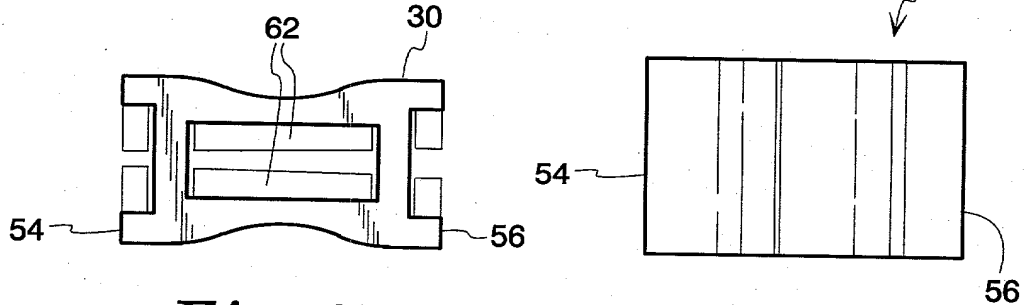


Fig. 5

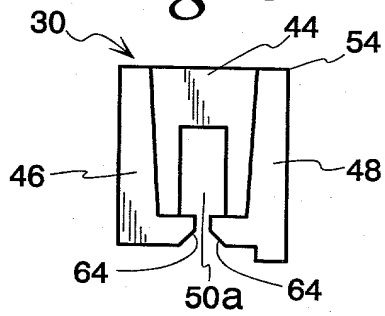


Fig. 7

Fig. 6

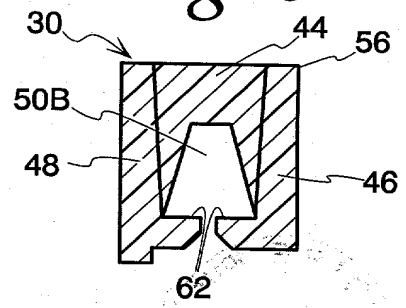


Fig. 8

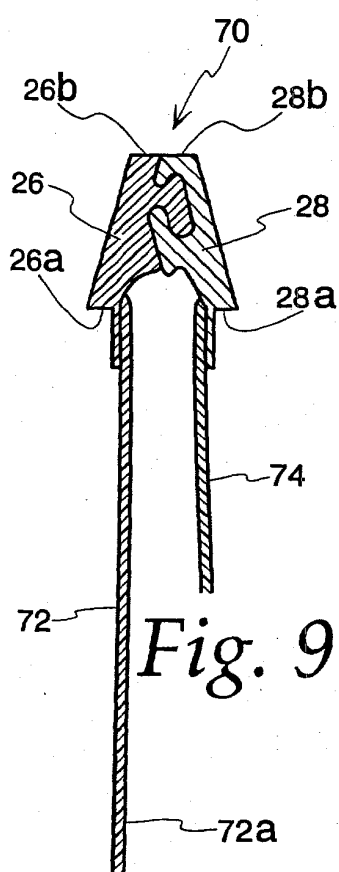


Fig. 9

3/27

Fig. 10

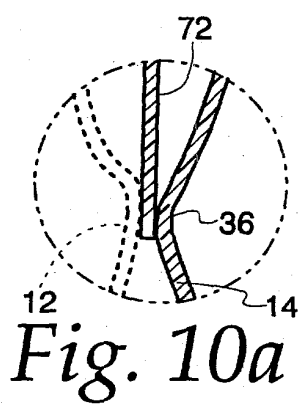
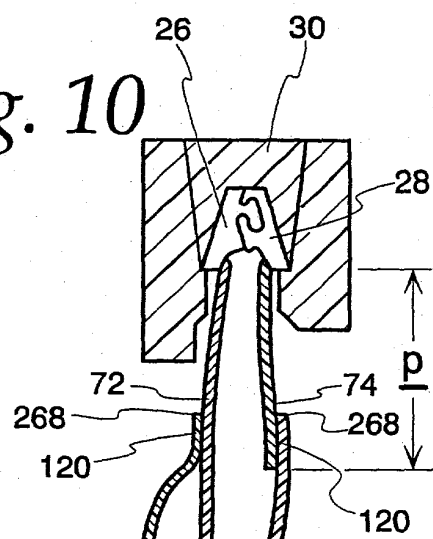


Fig. 10a

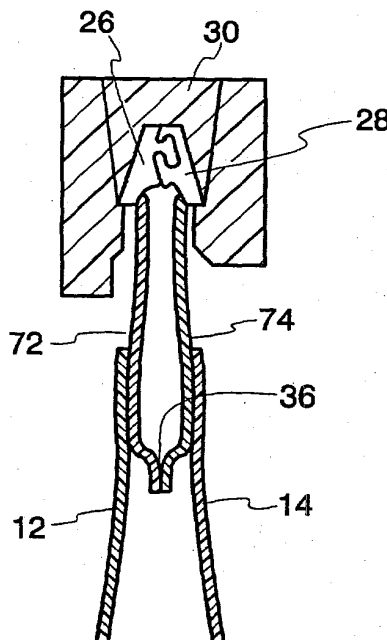


Fig. 10b

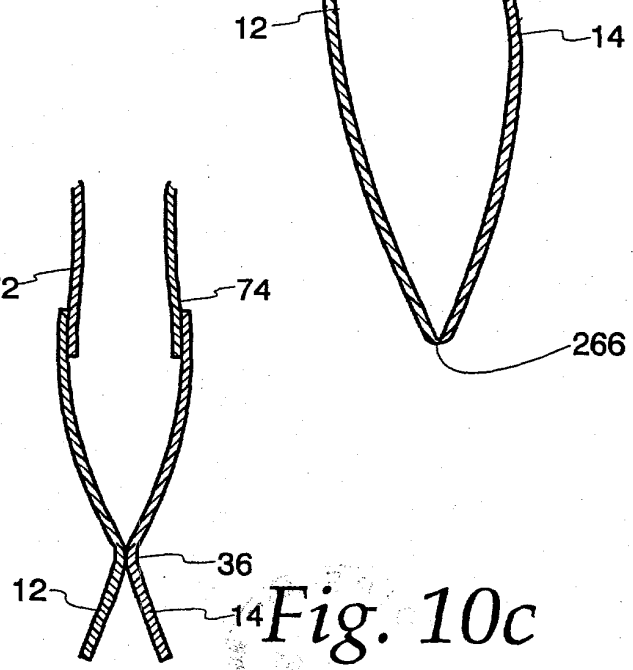


Fig. 10c

4/12

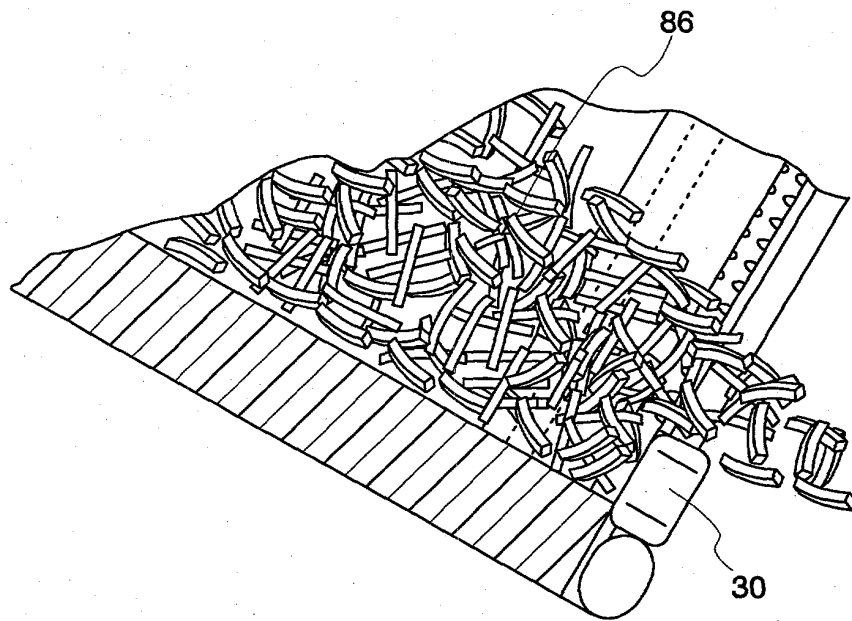


Fig. 12
Prior Art

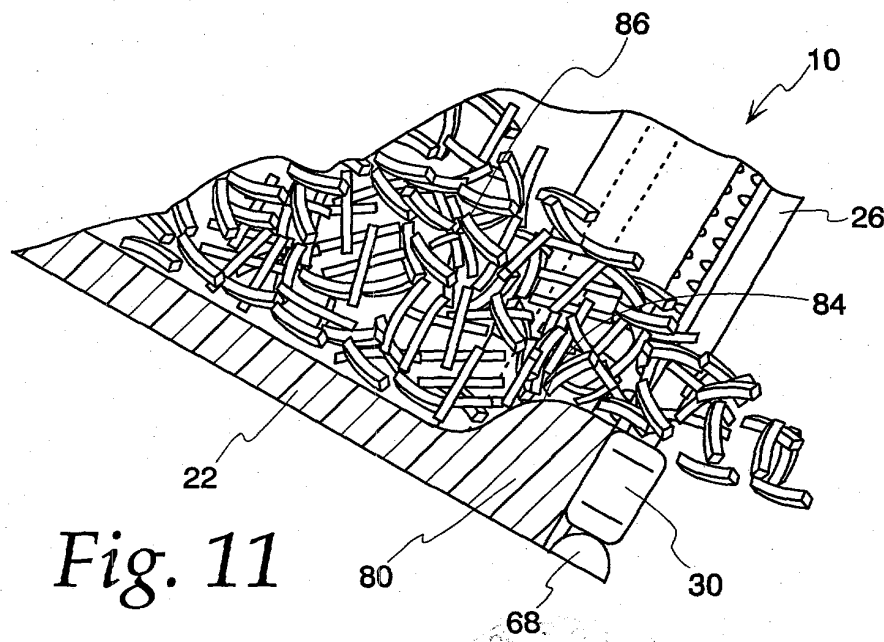


Fig. 11

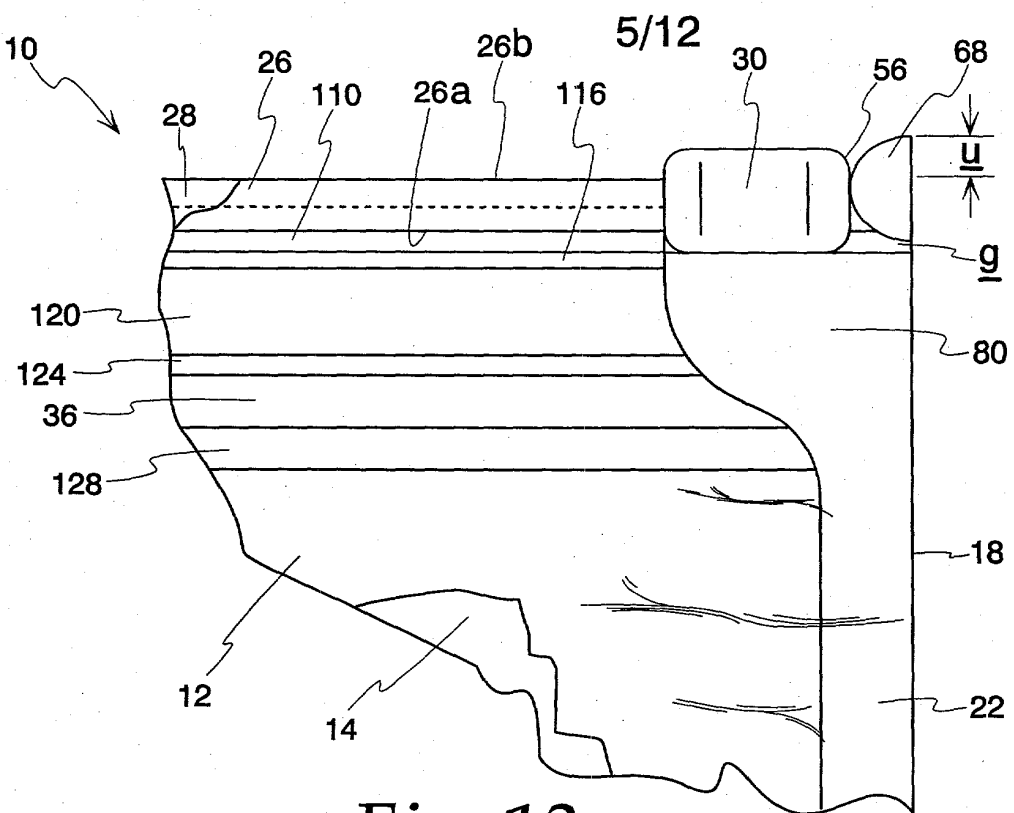


Fig. 13

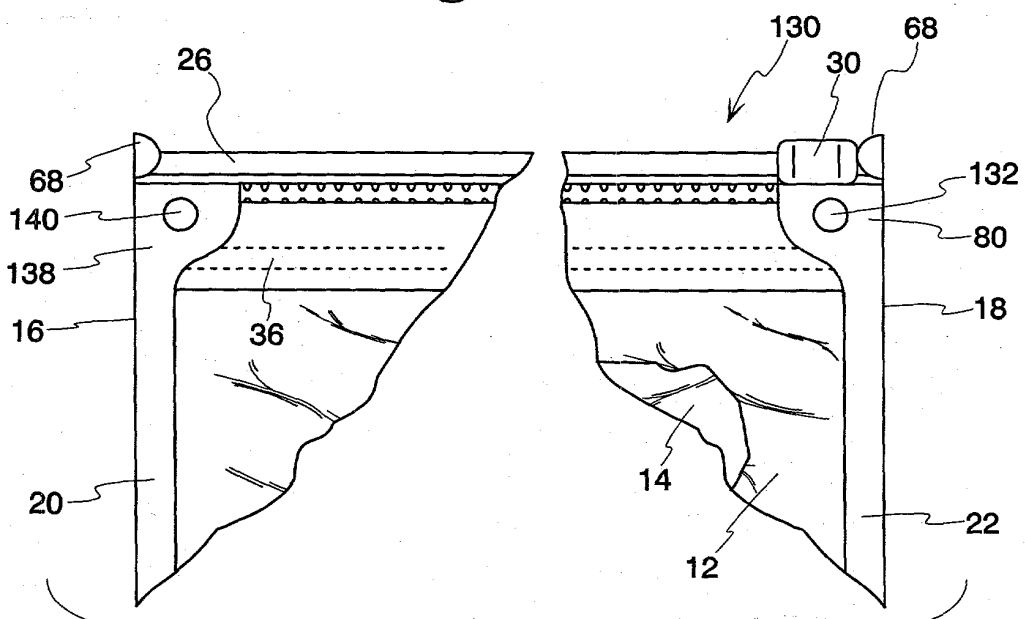
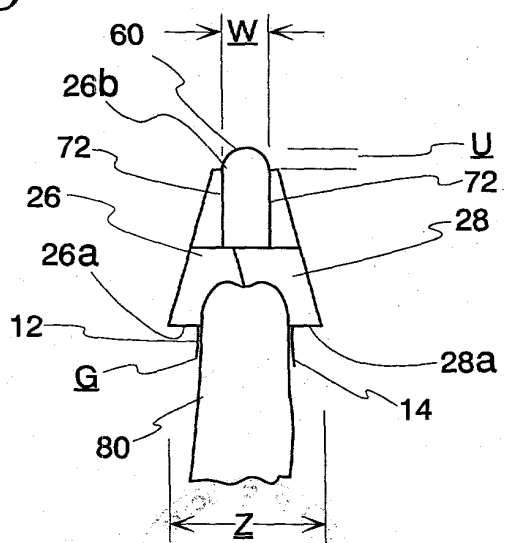
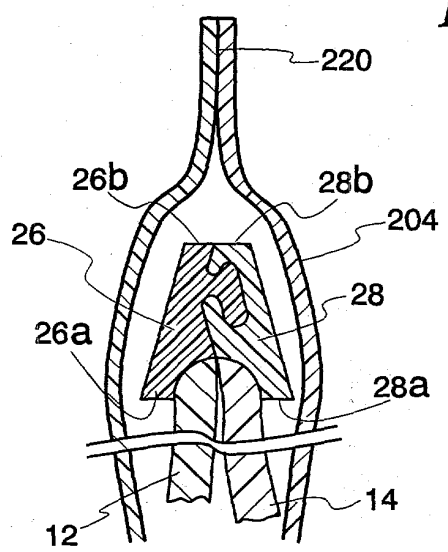
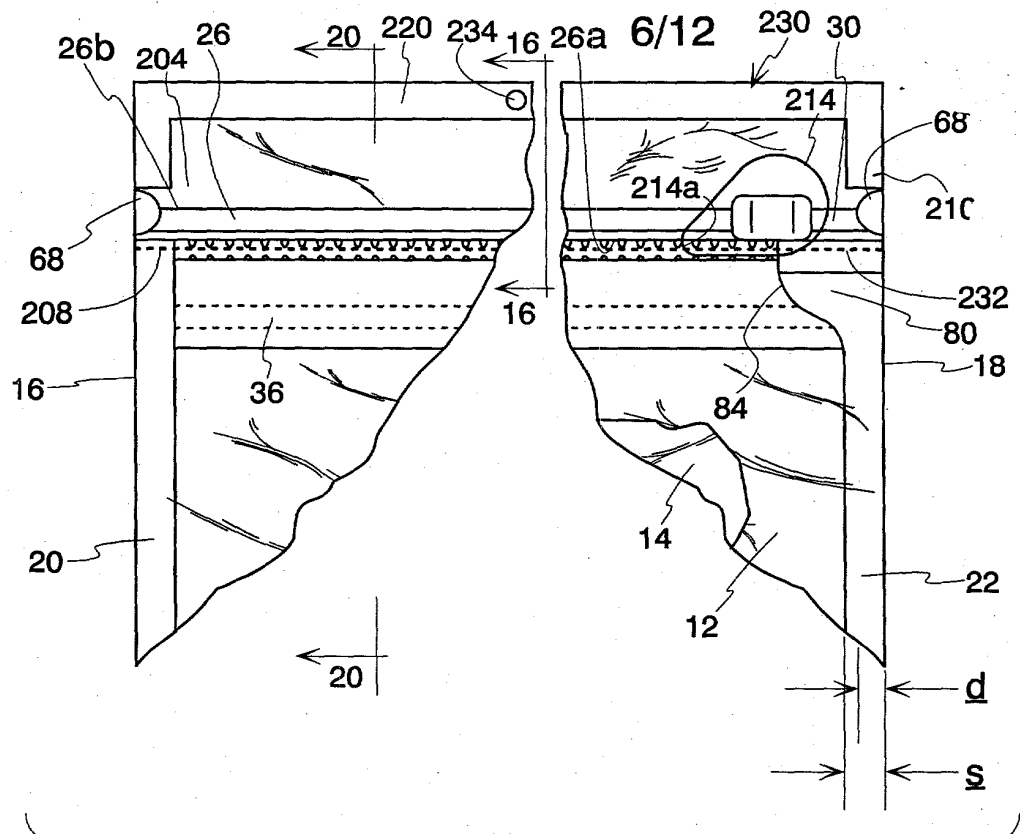
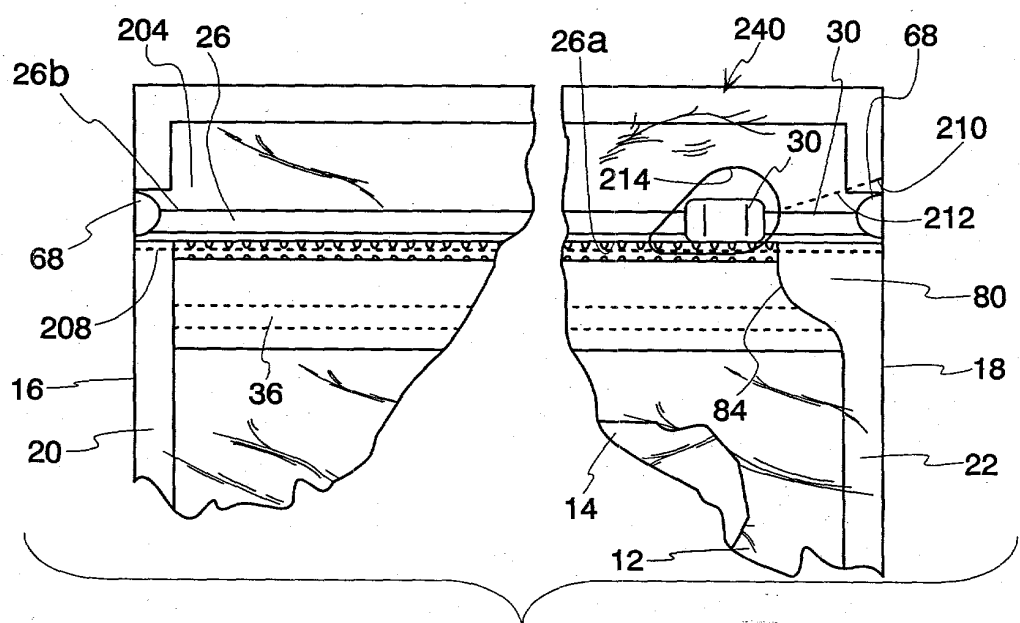
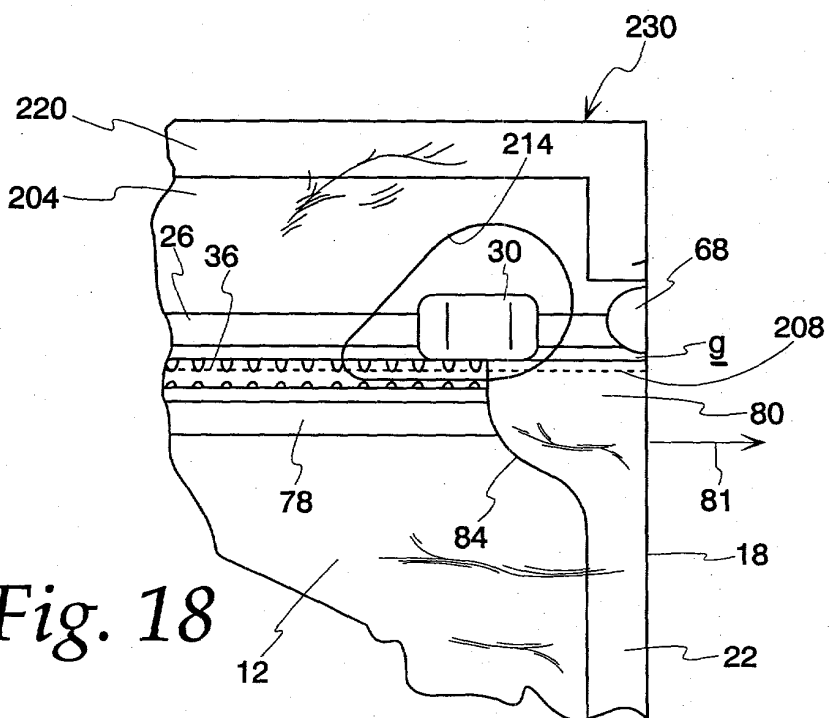


Fig. 14



7/12



8/12

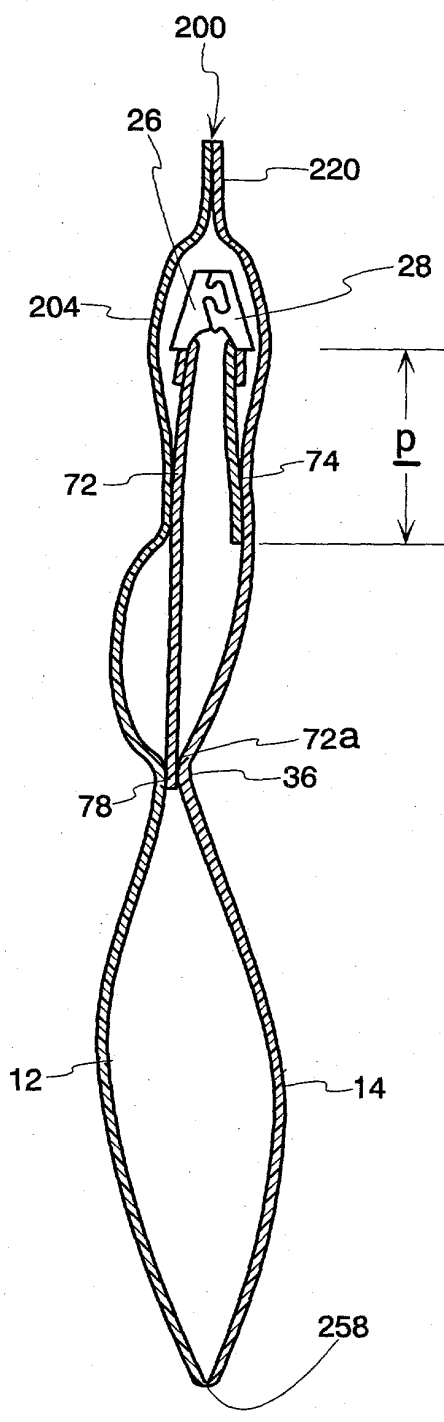


Fig. 20

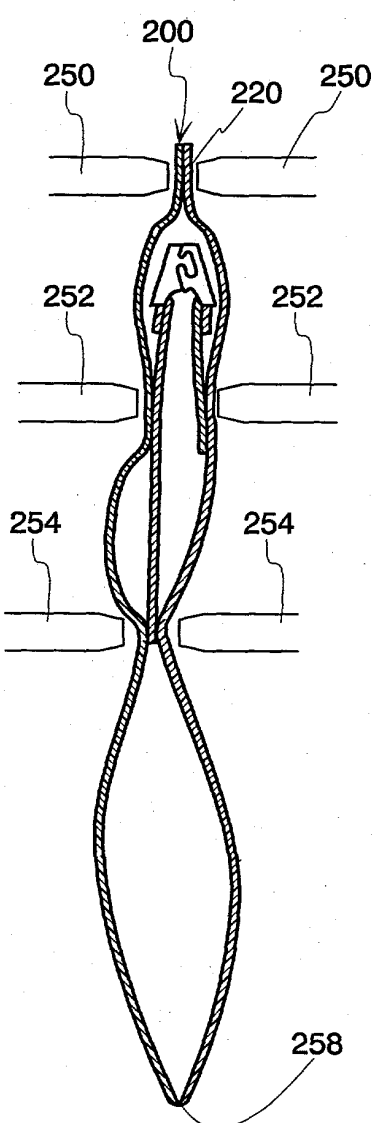
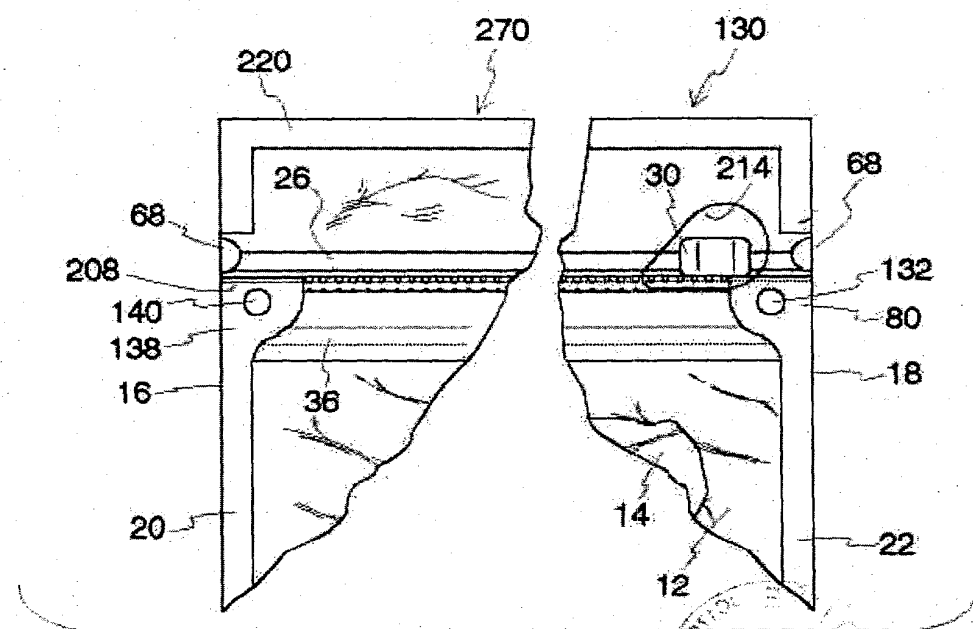
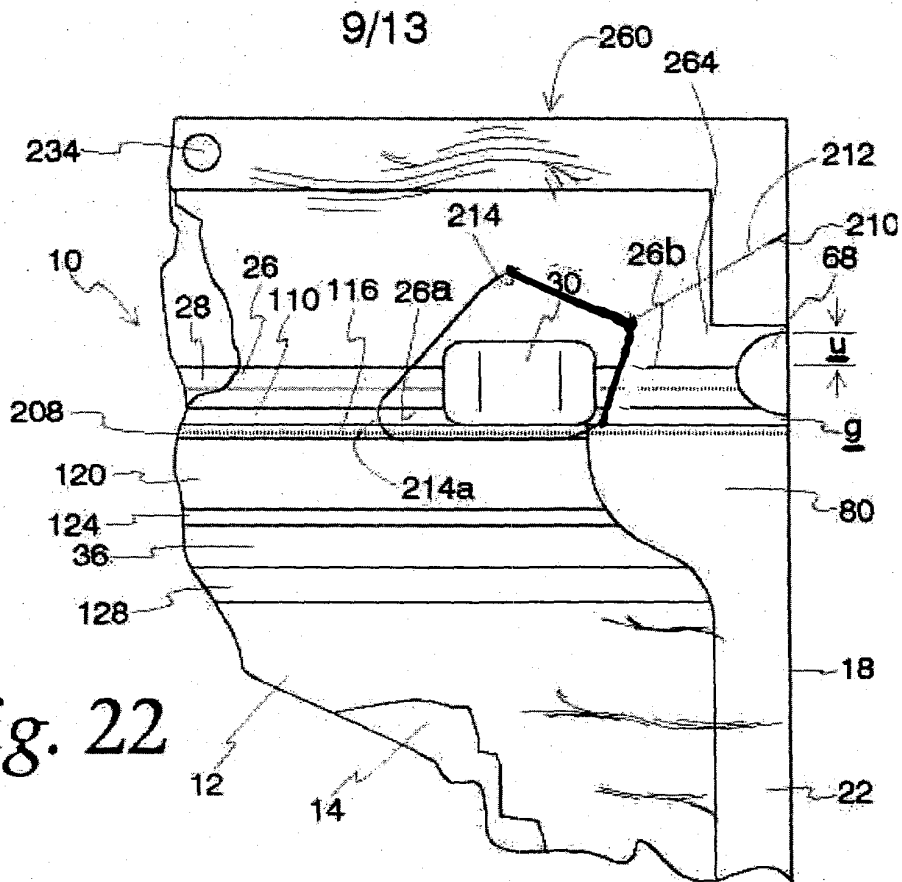


Fig. 21



10/12

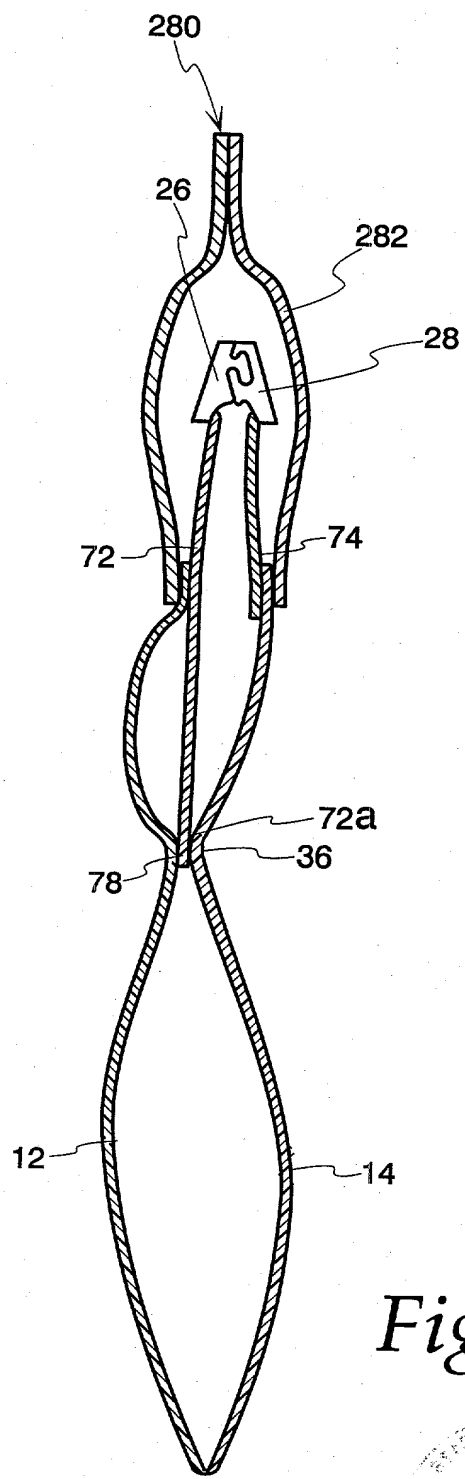


Fig. 24

11/12

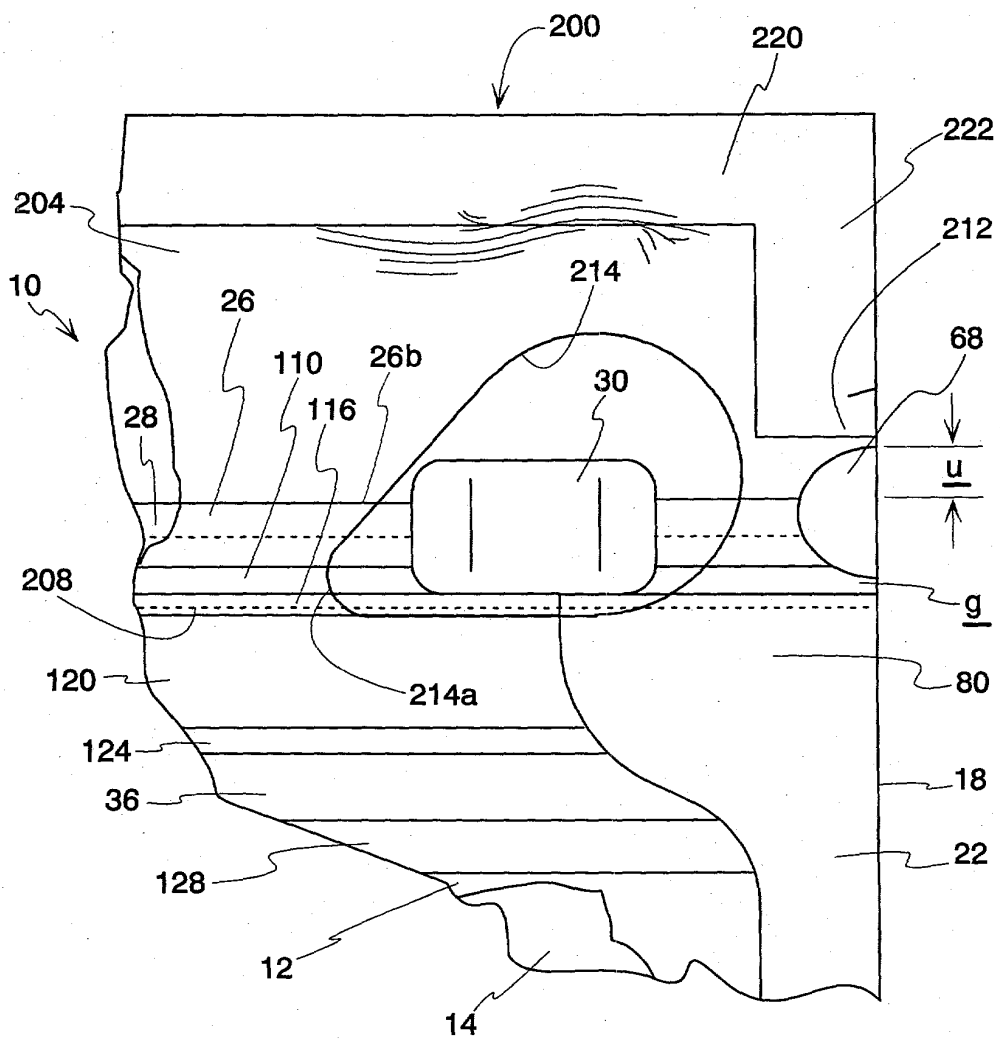


Fig. 25

